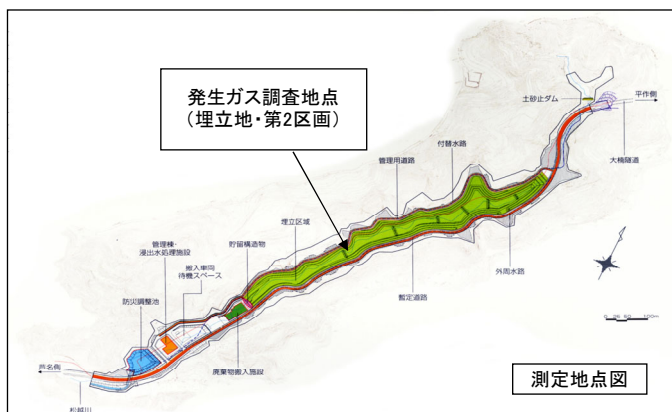


発生ガス、埋立地内部温度のモニタリング結果

測定地点:埋立地・第2区画(No.C29ガス抜き管)

項目	単位	調査年月日				測定方法			
		令和7年度 第1四半期 5月14日	令和7年度 第2四半期 8月26日	令和7年度 第3四半期 11月18日	令和7年度 第4四半期 2月5日				
発生ガス量	mL/min	10未満	10未満	10未満	10未満	石鹸膜流量計による			
ガス温度	℃	19.6	27.7	15.6	11.9	熱電対温度計による			
気温	℃	23.4	32.0	13.4	12.2	アスマン通風乾湿計による			
埋立地 内部温度	℃	19.6 (-1.0 m)	27.7 (-1.0 m)	15.6 (-1.0 m)	11.9 (-1.0 m)	熱電対温度計による			
		19.5 (-2.0 m)	27.6 (-2.0 m)	16.7 (-2.0 m)	12.4 (-2.0 m)				
		19.8 (-3.0 m)	27.6 (-3.0 m)	18.1 (-3.0 m)	12.5 (-3.0 m)				
		20.8 (-4.0 m)	27.5 (-4.0 m)	18.6 (-4.0 m)	12.6 (-4.0 m)				
		22.0 (-5.0 m)	27.5 (-5.0 m)	19.1 (-5.0 m)	12.6 (-5.0 m)				
		23.0 (-6.0 m)	27.5 (-6.0 m)	19.5 (-6.0 m)	14.9 (-6.0 m)				
		23.0 (-7.0 m)	27.7 (-7.0 m)	20.4 (-7.0 m)	15.1 (-7.0 m)				
		22.7 (-8.0 m)	27.7 (-8.0 m)	21.2 (-8.0 m)	15.2 (-8.0 m)				
		22.7 (-9.0 m)	27.7 (-9.0 m)	21.3 (-9.0 m)	15.4 (-9.0 m)				
		22.7 (-10.0 m)	27.1 (-10.0 m)	21.7 (-10.0 m)	15.5 (-10.0 m)				
		22.7 (-11.0 m)	26.7 (-11.0 m)	21.8 (-11.0 m)	15.3 (-11.0 m)				
		22.7 (-12.0 m)	26.3 (-12.0 m)	22.3 (-12.0 m)	15.3 (-12.0 m)				
		22.7 (-13.0 m)	26.1 (-13.0 m)	22.4 (-13.0 m)	15.3 (-13.0 m)				
		22.7 (-14.0 m)	26.1 (-14.0 m)	22.8 (-14.0 m)	15.3 (-14.0 m)				
		22.7 (-15.0 m)	24.7 (-15.0 m)	22.8 (-15.0 m)	15.3 (-15.0 m)				
		22.7 (-16.0 m)	24.6 (-16.0 m)	22.8 (-16.0 m)	15.3 (-16.0 m)				
		22.7 (-17.0 m)	24.6 (-17.0 m)	22.8 (-17.0 m)	15.3 (-17.0 m)				
		(深度)							
		気圧	hPa	1011	1004		1003	1008	アネロイド式気圧計による
		メタン	%	0.1未満	0.1未満		0.1未満	0.1未満	ガスクロマトグラフ(TCD)法による
二酸化炭素	%	0.2	0.3	0.2	0.3	ガスクロマトグラフ(TCD)法による			
アンモニア	ppm	0.2未満	0.2未満	0.2未満	0.2未満	検知管法による			
硫化水素	ppm	0.001未満	0.001未満	0.001未満	0.001未満	ガスクロマトグラフ(FPD)法による			
酸素	%	19.8	20.0	20.3	20.1	ガスクロマトグラフ(TCD)法による			



発生ガス、埋立地内部温度のモニタリング結果

測定地点:埋立地・第6区画(No.C58ガス抜き管)

項目	単位	調査年月日				測定方法			
		令和7年度 第1四半期 5月14日	令和7年度 第2四半期 8月26日	令和7年度 第3四半期 11月18日	令和7年度 第4四半期 2月5日				
発生ガス量	mL/min	10未満	10未満	10未満	10未満	石酸膜流量計による			
ガス温度	℃	19.5	29.5	13.6	21.7	熱電対温度計による			
気温	℃	23.8	33.5	13.7	7.9	アスマン通風乾湿計による			
埋立地 内部温度	℃	19.5 (-1.0 m)	29.5 (-1.0 m)	13.6 (-1.0 m)	21.7 (-1.0 m)	熱電対温度計による			
		19.7 (-2.0 m)	28.9 (-2.0 m)	13.7 (-2.0 m)	22.1 (-2.0 m)				
		19.8 (-3.0 m)	28.6 (-3.0 m)	14.0 (-3.0 m)	20.9 (-3.0 m)				
		20.2 (-4.0 m)	28.6 (-4.0 m)	14.7 (-4.0 m)	19.5 (-4.0 m)				
		20.2 (-5.0 m)	28.3 (-5.0 m)	15.2 (-5.0 m)	19.1 (-5.0 m)				
		20.2 (-6.0 m)	27.9 (-6.0 m)	16.0 (-6.0 m)	18.9 (-6.0 m)				
		20.3 (-7.0 m)	27.6 (-7.0 m)	16.0 (-7.0 m)	18.7 (-7.0 m)				
		20.4 (-8.0 m)	27.5 (-8.0 m)	16.4 (-8.0 m)	18.2 (-8.0 m)				
		20.4 (-9.0 m)	27.5 (-9.0 m)	17.0 (-9.0 m)	17.8 (-9.0 m)				
		20.5 (-10.0 m)	24.8 (-10.0 m)	17.5 (-10.0 m)	17.3 (-10.0 m)				
		20.5 (-11.0 m)	23.8 (-11.0 m)	17.5 (-11.0 m)	16.9 (-11.0 m)				
		20.6 (-12.0 m)	23.8 (-12.0 m)	17.6 (-12.0 m)	16.9 (-12.0 m)				
		20.6 (-13.0 m)	23.8 (-13.0 m)	17.6 (-13.0 m)	15.7 (-13.0 m)				
		20.6 (-14.0 m)	23.8 (-14.0 m)	17.7 (-14.0 m)	14.4 (-14.0 m)				
		20.6 (-15.0 m)	23.8 (-15.0 m)	17.7 (-15.0 m)	14.3 (-15.0 m)				
		20.6 (-16.0 m)	23.8 (-16.0 m)	17.7 (-16.0 m)	14.2 (-16.0 m)				
		20.6 (-17.0 m)	23.8 (-17.0 m)	17.7 (-17.0 m)	14.2 (-17.0 m)				
		(深度)							
		気圧	hPa	1011	1004		1003	1008	アネロイド式気圧計による
		メタン	%	0.1未満	0.1未満		0.1未満	0.1未満	ガスクロマトグラフ(TCD)法による
二酸化炭素	%	0.1未満	0.1未満	0.1未満	0.3	ガスクロマトグラフ(TCD)法による			
アンモニア	ppm	0.2未満	0.2未満	0.2未満	0.2未満	検知管法による			
硫化水素	ppm	0.001未満	0.001未満	0.001未満	0.001未満	ガスクロマトグラフ(FPD)法による			
酸素	%	20.5	20.7	20.6	20.0	ガスクロマトグラフ(TCD)法による			



